

## КВАНТОВЫЙ РАЗМЕРНЫЙ ЭФФЕКТ В УЗКОЩЕЛЕВЫХ И БЕСЩЕЛЕВЫХ ПОЛУПРОВОДНИКАХ

Кисин М. В., Петросян В. И.

Рассчитан электронный энергетический спектр двойной гетероструктуры, содержащей слой узкощелевого полупроводника. Для зонных моделей Кейна и Дирака (Диммока) показано, что положение подзон размерного квантования легких частиц и значения эффективных масс в подзонах сильно зависят от соотношения величин барьеров в валентной зоне и зоне проводимости. Найденные зависимости качественно различаются в рассматриваемых зонных моделях, описывающих два основных класса узкощелевых полупроводников. В твердых растворах HgCdTe в отличие от халькогенидов свинца размерное квантование приводит к сильному нарушению зеркальной симметрии спектра легких частиц даже в отсутствие смешивания состояний легких и тяжелых дырок.

Двойные гетероструктуры (квантовые ямы), содержащие тонкий слой узкощелевого полупроводника, перспективны для применений в ИК оптоэлектронике [1, 2]. Корректное описание спектра размерного квантования в таких гетероструктурах возможно лишь на основе многозонных кейновских моделей. Однако до сих пор нет ясного понимания тех особенностей квантового размерного эффекта в узкощелевых полупроводниках, к которым приводит учет многозонности волновой функции по сравнению, например, с традиционной картиной квантования спектра скалярной частицы в прямоугольной потенциальной яме. Как будет показано далее, такой особенностью является сильная зависимость параметров спектра размерного квантования от соотношения величин барьеров в валентной зоне и зоне проводимости, причем эти зависимости существенно различны в двух основных классах узкощелевых полупроводников: твердых растворах типа HgCdTe и соединениях на основе халькогенидов свинца.

Спектр носителей заряда в узкощелевых составах HgCdTe хорошо описывается трехзонной моделью Кейна, явно учитывающей зоны электронов, легких и тяжелых дырок. Гамильтониан модели представляет собой матрицу  $6 \times 6$ , подробно описанную, например, в работе [3]. Нас будут интересовать соединения, у которых ширина запрещенной зоны  $\epsilon_g$  мала. В таких полупроводниках массы электронов  $m_c$  и легких дырок  $m_l$  малы, и если интересоваться квантованием спектра легких частиц, то зону тяжелых дырок можно считать плоской, полагая  $m_h = \infty$ . Действительно, в бесщелевом случае энергия квантования легких частиц имеет порядок  $\epsilon_l \sim P/d$ , где  $P$  — межзонный матричный элемент импульса. В HgCdTe  $P \sim 8 \text{ эВ} \cdot \text{Å}$ , и даже для толщин слоя  $d$  порядка десятка ангстрем  $E_l \gg E_h \sim \hbar^2/2m_h d^2$ , если  $m_h$  порядка массы свободного электрона. Таким образом, эффектами смешивания состояний легких и тяжелых дырок [4] в рассматриваемой ситуации можно пренебречь.

Направим ось  $x$  поперек слоя узкощелевого полупроводника, а ось  $y$  — вдоль двумерного волнового вектора  $K$ . Поскольку рассматриваемая структура обладает центром инверсии, уравнения трехзонной модели Кейна распадаются на две независимые системы в соответствии с двукратным вырождением спектра квантовой ямы. Ненулевые матричные элементы субматриц гамильтониана размерности  $3 \times 3$  равны

$$H_{11} = \epsilon_g, \quad H_{12} = H_{21}^* = \frac{P}{\sqrt{2}} (ik_x - K), \quad H_{13} = H_{31}^* = \frac{P}{\sqrt{6}} (ik_x + K). \quad (1)$$

Энергетический спектр носителей заряда в узкощелевых соединениях на основе халькогенидов свинца описывается гамильтонианом Диммока [5], сводящимся в сферическом приближении к известному гамильтониану Дирака. Последний также может быть приведен к блочно-диагональному виду [6] с субматрицами размерности  $2 \times 2$ , содержащими ненулевые элементы,

$$H_{11} = \varepsilon_g, \quad H_{12} = H_{21}^* = P(ik_x + K). \quad (2)$$

Спектр легких частиц в моделях (1), (2) описывается выражением

$$\varepsilon_{c, l} = \frac{\varepsilon_g}{2} \pm \sqrt{\left(\frac{\varepsilon_g}{2}\right)^2 + \alpha^2 P^2 (K^2 + k^2)}. \quad (3)$$

Здесь  $k$  — поперечная компонента волнового вектора,  $\alpha = \sqrt{2/3}$  в модели Кейна и  $\alpha = 1$  в модели Дирака. Знаки плюс и минус здесь и далее относятся соответственно к электронам и легким дыркам. Отсчет энергии ведется от потолка валентной зоны узкощелевого полупроводника, а для полупроводников с инверсной зонной структурой ( $\varepsilon_g < 0$ ) — от дна зоны проводимости.

В данной работе нас будут интересовать особенности квантового размерного эффекта, связанные с многозонным характером волновой функции электрона в моделях (1) и (2). Для простоты анализа разрывы зон  $\Delta_c$  и  $\Delta_v$  на гетерограницах будем считать прямоугольными, не учитывая влияния объемного заряда и электрон-электронного взаимодействия на формирование спектра носителей заряда в яме. В этом приближении задача сводится к определению условий существования локализованных решений уравнения Шредингера  $H_{ij} \Psi_j = \varepsilon \Psi_i$  с гамильтонианом (1) или (2). Такое решение, затухающее в объеме широкозонного полупроводника, может быть построено как линейная комбинация частных решений  $\psi_{K, D} \exp i(kx + Ky)$ , матричная структура которых для моделей Кейна и Дирака имеет вид

$$\begin{aligned} \psi_K &= (2\varepsilon/\alpha P, -\sqrt{3}(K + ik), K - ik), \\ \psi_D &= (\varepsilon/\alpha P, K - ik). \end{aligned} \quad (4)$$

Для определения коэффициентов линейной комбинации необходимо сформулировать граничные условия для компонент волновой функции  $\Psi_i$ . Эти условия могут быть получены из требования непрерывности потока вероятности через гетерограницу. Если предположить, что параметр  $P$  одинаков в узкозонном и широкозонном материалах, то, интегрируя уравнение Шредингера через границу, получим условие непрерывности величин  $\Psi_1$  и  $\Psi_2$  в модели Дирака,  $\Psi_1$  и  $\sqrt{3}\Psi_2 + \Psi_3$  в модели Кейна. Последнее условие может быть также получено из граничных условий работы [7] в пределе большого спин-орбитального расщепления валентной зоны. Поскольку моделям (1) и (2) соответствуют дифференциальные уравнения первого порядка, найденных граничных условий достаточно для сшивки волновых функций на гетерогранице. Дисперсионное уравнение для решений в яме получается из условий сшивки элементарным образом и имеет вид

$$\exp(2ikd) = z/z^*, \quad z = (\lambda\varepsilon - ikE)^2 - \beta\Delta_g^2 K^2, \quad (5)$$

где  $E = \varepsilon + \Delta_g$ ;  $\beta = 1$  в модели Дирака и  $\beta = 1/4$  в модели Кейна. Величина  $\lambda = \sqrt{K^2 + E(E_g - E)}/(\alpha P)^2$  есть декремент затухания волновой функции в широкозонном материале с шириной запрещенной зоны  $E_g$ . Заметим, что область энергий  $\varepsilon \sim 0$  уравнением (5) не описывается, поскольку дисперсией тяжелых дырок мы пренебрегаем.

Совместное решение уравнений (5) и (3) дает нам положение и вид  $N$  электронных и дырочных подзон размерного квантования легких частиц в соответствии с  $N$  решениями трансцендентного уравнения (5). Систематику подзон удобно ввести, исходя из «однозонной» ситуации  $\varepsilon_g \gg P/d$ . Если барьеры в соответствующей зоне достаточно велики, то при  $K=0$  получим обычные условия квантовая  $k_n d = N\pi$ . Считая  $k$  действительной величиной, перепишем (5) в виде

$$kd = N\pi - \arctg \left( \frac{\varepsilon\lambda}{Ek} - \frac{kE}{\varepsilon\lambda} - \frac{3K^2\Delta_c^2}{k\lambda\varepsilon E} \right). \quad (6)$$

Уравнение (6) позволяет качественно понять характер перестройки спектра размерного квантования при переходе к «многозонной» ситуации. Пусть для простоты  $K=0$ , а разрывы зон на гетерогранице велики и симметричны  $\Delta_c \simeq \Delta_v \gg P/d$ . Тогда, например, в зоне проводимости при  $\varepsilon_g \gg P/d$  имеем  $\varepsilon \sim \varepsilon_g$  и  $k_N d \simeq N\pi$ . Если же  $\varepsilon_g \sim 0$ , то  $k_N d \simeq (N-1/2)\pi$ , но при этом для несимметричных разрывов зон величина  $k_N$  будет сильно зависеть от соотношения  $\Delta_c$  и  $\Delta_v$ , а также от величины  $K$ . При  $\varepsilon_g < 0$  на параболическом участке спектра имеем  $\varepsilon \simeq k^2 P^2 / |\varepsilon_g|$  и  $k_N d \simeq (N-1)\pi$  в соответствии с результатами работы [8].

Ограничимся на дальнейшем случае  $\varepsilon_g \sim 0$  и  $N=1$ , где зависимость спектра от параметров гетерограницы наиболее сильна. В случае достаточно широкой (глубокой) ямы, когда  $\Delta_{c,v} \gg P/d$ , из (6) можно получить аналитическое выражение для эффективных масс электронов и дырок на дне первой подзоны

$$m_{c,l} = \frac{k}{\alpha P} \left[ 1 \pm \frac{2}{kd} \sqrt{t(1-t)} (1-2\beta t) \right]^{-1}. \quad (7)$$

Здесь

$$kd = \left( N - \frac{1}{2} \right) \pi \pm \arctg \frac{1}{2} \left( \sqrt{\frac{1-t}{t}} - \sqrt{\frac{t}{1-t}} \right), \quad t = \frac{\Delta_v}{E_g}. \quad (8)$$

Из (8) видно, что в бесщелевых полупроводниках положение дна  $N$ -й подзоны проводимости зависит от величины барьера в валентной зоне, и наоборот. С увеличением разрыва в «противоположной» зоне уровни размерного квантования стремятся занять положение уровня с номером на единицу меньше. Интересно, что эффективные массы (7) ведут себя при этом по-разному в моделях Кейна и Дирака.

В модели Дирака электроны утяжеляются и при  $\Delta_c \ll \Delta_v$ ,

$$m_{cD} \simeq \frac{3}{4Pd} \sqrt{\frac{E_g}{\Delta_c}}, \quad (9)$$

а дырки ведут себя таким же образом при  $\Delta_v \ll \Delta_c$  в соответствии с соотношением

$$m_{vD} (1-t) = m_{cD} (t), \quad (10)$$

следующим из (7), при  $\beta=1$ . В модели Кейна дырки также утяжеляются при  $\Delta_v \ll \Delta_c$

$$m_{vK} \simeq \frac{12}{7Pd} \sqrt{\frac{3E_g}{2\Delta_v}}, \quad (11)$$

но равенство (10) уже не выполняется, и при  $\Delta_c \ll \Delta_v$  электроны, наоборот, становятся легче

$$m_{cK} \simeq \frac{4}{3Pd} \sqrt{\frac{3\Delta_c}{2E_g}}. \quad (12)$$

Если величина разрыва больше в той зоне, где расположен исследуемый уровень, то в модели Дирака для электронов получим

$$m_{c\alpha Pd} \simeq \pi - 4 \sqrt{\Delta_v/E_g}. \quad (13)$$

Масса дырок при этом ведет себя в соответствии с (10). В модели Кейна для массы электронов также справедливо выражение (13), а для дырок в случае большого барьера в валентной зоне имеем

$$m_{vK\alpha Pd} \simeq \pi - \sqrt{\Delta_c/E_g}. \quad (14)$$

На рис. 1 непрерывными линиями показаны значения эффективных масс электронов и дырок в первой подзоне, рассчитанные по формулам (7) и (8).

Точками нанесены результаты решения уравнения (5), учитывающие конечную толщину слоя бесщелевого полупроводника. На рис. 2 показана зависимость отношения масс электронов и дырок в первой подзоне от величины разрывов зон. В модели Дирака при  $\Delta_c = \Delta_v$  это отношение равно единице в соответствии с (10). При этом отношение масс носителей заряда слабо зависит от ширины запрещенной зоны  $\epsilon_g$  узкощелевого полупроводника. Напротив, в модели Кейна размерное квантование при  $\epsilon_g = 0$  сильно нарушает зеркальную симметрию спектра легких частиц, поэтому отношение масс электронов и дырок в первой подзоне существенно зависит от  $\epsilon_g$  (рис. 2). Отметим, что при дальнейшем увеличении  $\epsilon_g$  восстановлению симметрии спектра легких частиц будет препятствовать смешивание состояний легких и тяжелых дырок [4].

Дисперсионное уравнение (5) может иметь мнимые решения  $k = iq$ . Волновая

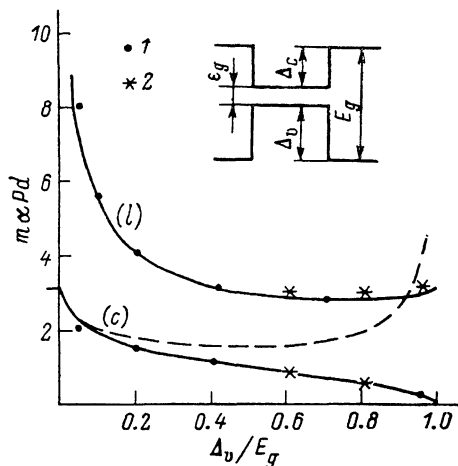


Рис. 1. Эффективные массы носителей заряда в первой подзоне размерного квантования в моделях Кейна (сплошные кривые) и Дирака (штриховая).

$\epsilon_g = 0$ ,  $P/\alpha \ll \Delta_c$ ,  $v$ . Точки нанесены значения масс для конечной толщины слоя HgCdTe  $d$ , Å: 1 — 150, 2 — 60. На вставке — энергетическая диаграмма двойной гетероструктуры.

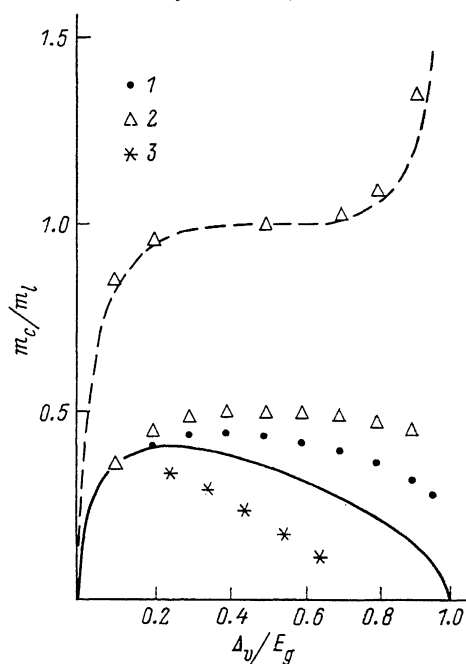


Рис. 2. Отношение эффективных масс легких частиц в моделях Кейна (сплошная кривая) и Дирака (штриховая) при  $\epsilon_g = 0$ .

$\epsilon_g/E_g$ : 1 — 0.02, 2 — 0.04, 3 — -0.02.

функция такого решения локализована вблизи границ квантовой ямы и при увеличении толщины ямы  $d$  переходит в комбинацию пограничных состояний отдельных гетеропереходов [7]. Для интересующего нас случая узкощелевых и бесщелевых полупроводников с линейным спектром, полагая в (5)  $\epsilon \approx \alpha kP$  и  $l = iq \rightarrow 0$ , находим уравнение для критического значения  $K_0$ , при котором состояния в квантовой яме становятся пограничными,

$$\frac{1}{2} K_0 d [\delta_c \delta_v + K_0 (\delta_c - \delta_v)]^{-1/2} \left[ \delta_v - \delta_c - \frac{(1 - \beta) \delta_v^2}{\delta_v + K_0} \right] = 1. \quad (15)$$

Здесь  $\delta_{c,v} = \Delta_{c,v}/\alpha P$ , положительные решения  $K_0$  соответствуют возникновению пограничных состояний в зоне проводимости, а отрицательные — в валентной зоне. В модели Дирака решение имеет вид

$$K_0 d = \frac{2}{(\delta_v - \delta_c) d} (\sqrt{1 + \delta_c \delta_v d^2} - 1). \quad (16)$$

При симметричных разрывах зон  $K_0 \rightarrow \infty$  и пограничные состояния не образуются ни при каких  $K$ . Напротив, в случае модели Кейна уравнение (15) всегда имеет конечное решение  $K_0$ , и при достаточно больших  $K$  состояния первой

подзоны размерного квантования являются пограничными либо в зоне проводимости, либо в валентной зоне.

В заключение отметим, что экспериментальное исследование параметров спектра размерного квантования может оказаться полезным для установления величины разрывов зон на гетерогранице. Действительно, как видно из рис. 1 и 2, в области  $\Delta_g/E_g \leq 0.2$  эффективные массы легких частиц достаточно слабо зависят от толщины  $d$  слоя узкощелевого полупроводника и от состава твердого раствора (ширины запрещенной зоны  $\varepsilon_g$ ). При этом отношение  $m_c/m_l$  сильно зависит от величины разрыва валентной зоны  $\Delta_g$ , значение которой в соединениях HgCdTe до настоящего времени является предметом дискуссии [9].

#### Л и т е р а т у р а

- [1] Валейко М. В., Засавицкий И. И., Матвеевко А. В., Мацонашвили Б. И., Саксеев Д. А. — ФТП, 1987, т. 21, в. 1, с. 57—62.
- [2] Kinch M. A., Goodwin M. W. — J. Appl. Phys., 1985, v. 58, N 11, p. 4455—4458.
- [3] Гельмонт Б. Л. — ЖЭТФ, 1978, т. 75, в. 2 (8), с. 536—544.
- [4] Дьяконов М. И., Хаецкий А. В. — ЖЭТФ, 1982, т. 82, в. 5, с. 1584—1590.
- [5] Dimmock J. — J. Phys. Chem. Sol., 1971, v. 32 (Suppl.), N 1, p. 319—330.
- [6] De Dios Leiva M., Alvarez R. P., Gondar J. L. — Phys. St. Sol., 1984, v. B125, N 1, p. 221—228.
- [7] Сурис Р. А. — ФТП, 1986, т. 20, в. 11, с. 2008—2014.
- [8] Кисин М. В., Петросян В. И. — ФТП, 1987, т. 21, в. 2, с. 279—283.
- [9] Kowalczyk S. P., Chcung J. T., Kraut E. A., Grant R. W. — Phys. Rev. Lett., 1986, v. 56, N 15, p. 1605—1608.

Институт радиотехники  
и электроники АН СССР  
Саратовский филиал

Получена 18.06.1987  
Принята к печати 23.10.1987